

# بررسی اثر پرایمینگ توأم بذرهای گندم با اسید سالیسیلیک و پراکسید هیدروژن برای القاء تحمل به سوری

قادر حبیبی\* و عذرا حسینی نژاد

ایران، تهران، دانشگاه پیام نور، گروه زیست‌شناسی

تاریخ دریافت: ۱۳۹۷/۶/۲۸ تاریخ پذیرش: ۹۷/۱۱/۱۰

## چکیده

در این پژوهش، اثر پرایمینگ اسید سالیسیلیک، پراکسید هیدروژن و پرایمینگ توأم اسید سالیسیلیک و پراکسید هیدروژن بر بهبود تحمل به سوری دانه‌رستهای گندم (*Triticum aestivum L. cv Mihan*) بررسی شد. بذرها به مدت ۲۴ ساعت داخل آب مقطر (شاهد)، غلظت‌های مختلف اسید سالیسیلیک (۰/۱، ۰/۵ و ۱ میلی مولار) و پراکسید هیدروژن (۱، ۲۰ و ۲۰۰ میلی مولار) خیسانده شدند. پس از گذشت یک هفته، دانه رست‌ها به محیط کشت هیدروپوئیک حاوی محلول غذایی هوگلند منتقل شدند. آزمایش در قالب طرح بلوک‌های کامل تصادفی با چهار تکرار اجرا شد. سوری ۲۰۰ میلی مولار وزن خشک اندام هوایی دانه رست‌های گندم را ۲۵ درصد کاهش داد. پرایمینگ بذر و با پراکسید هیدروژن ۲۰ میلی مولار باعث کاهش تولید مalonon di آردید در شرایط تنش سوری گردید. با کاهش مalonon di آردید در دانه‌رست‌های حاصل از پرایمینگ پراکسید هیدروژن، آسیب سوری بر ظرفیت فتوسترنزی و وزن خشک تخفیف یافت. با اینکه تیمار پرایمینگ اسید سالیسیلیک نتوانست باعث تخفیف اثرات تنش سوری بر رشد و فتوسترنزی گندم شود، دانه‌رست‌های رشد یافته از پرایمینگ توأم اسید سالیسیلیک و پراکسید هیدروژن مقاومت بیشتری به تنش سوری نشان دادند. این افزایش مقاومت با افزایش ۴۵ درصدی (نسبت به شاهد) مقدار فنل کل و ارتقاء ۳۷ درصدی میزان فعالیت آنزیم کاتالاز همراه بود. درنتیجه شاخص پراکسیداسیون لیبیدها در تیمار توأم اسید سالیسیلیک و پراکسید هیدروژن کاهش معنی‌دار نشان داد. همچنین پرایمینگ توأم اسید سالیسیلیک و پراکسید هیدروژن باعث تخفیف اثرات تنش سوری بر ظرفیت فتوشیمیایی فتوسیستم II گردید.

**واژه‌های کلیدی:** پراکسیداسیون لیبید، ظرفیت فتوشیمیایی فتوسیستم II، پرایمینگ، تنش سوری، گندم

\* نویسنده مسئول، تلفن: ۳۷۸۲۸۰۴۱، پست الکترونیکی: gader.habibi@gmail.com

## مقدمه

غیرفعال شدن PSII شود (۲۴). این تغییر با تحریک تولید گونه‌های فعال اکسیژن (ROS) باعث مهار فتوسیستم II و بروز آسیب اکسیداتیو در اجزای داخلی سلول‌ها می‌شود (۴). سنجش فلورسانس کلروفیل و انجام آزمون جیپ (JIP) می‌تواند به عنوان ابزاری تعیین‌کننده در ارزیابی عملکرد فتوسیستم II در شرایط تنش سوری به کار رود (۱۸ و ۳۸). گیاهان برای جلوگیری از آسیب رسیدن به فتوسیستم II و همچنین جاروب کردن گونه‌های فعال

شوری یکی از مهم‌ترین عوامل تنش‌زای محدود کننده بهره‌وری گیاهان زراعی است. اثر تنش سوری بر گیاهان به غلظت نمک و زمان قرارگرفتن در معرض نمک، ژنو تیپ گیاه و عوامل محیطی بستگی دارد. سازوکارهای تحمل به شوری هنوز به طور کامل شناخته نشده و تلاش برای بهبود عملکرد در شرایط تنش سوری، به دلیل منشأ چند ژنی پاسخ‌های سازگاری، تا حد زیادی ناموفق بوده است. شوری می‌تواند با آسیب رساندن به مرکز تولید اکسیژن و تجزیه اجزاء پلی‌پپتیدی فتوسیستم II در نهایت منجر به

این رو مهمترین فرضیه این تحقیق این است که پرایمینگ توأم اسید سالیسیلیک و پراکسید هیدروژن بهتر از پرایمینگ اسید سالیسیلیک بهتنهایی و پراکسید هیدروژن بهتنهایی باعث تخفیف اثرات مضر شوری می‌شود. در نتیجه برای اولین بار در این تحقیق تأثیر پرایمینگ توأم اسید سالیسیلیک و پراکسید هیدروژن بر دانه‌رست‌های گندم در شرایط شوری مورد بررسی قرار گرفت. مهمترین هدف این تحقیق یافتن غلظت‌های بهینه پرایمینگ اسید سالیسیلیک بهتنهایی، پراکسید هیدروژن بهتنهایی و پراکسید توأم اسید سالیسیلیک و پراکسید هیدروژن بهمنظور تخفیف اثرات مضر شوری در دانه‌رست‌های گندم بود. از جمله اهداف دیگر این تحقیق یافتن اطلاعات جدیدی درباره سازوکارهای فیزیولوژیک تخفیف شوری توسط پرایمینگ توأم اسید سالیسیلیک و پراکسید هیدروژن و اثرات متقابل اسید سالیسیلیک و پراکسید هیدروژن بود.

### مواد و روشها

اعمال تیمارها: بذرهای گندم رقم میهن (*Triticum aestivum L. cv Mihan*) پس از ضد عفونی، به مدت ۲۴ ساعت در دمای ۲۵ درجه سانتی‌گراد (۱۱) در آب مقطر (شاهد) و یا در محلول‌های حاوی غلظت‌های مختلف اسید سالیسیلیک (۰/۱، ۰/۵ و ۱ میلی مolar) و پراکسیدهیدروژن (۱، ۲۰ و ۲۰۰ میلی مolar) خیسانده شدند. سپس بذرهای پرایمینگ شده با آب مقطر یا غلظت‌های مختلف پراکسید هیدروژن و اسید سالیسیلیک به روی کاغذ صافی مرطوب منتقل شدند تا جوانه بزند. پس از انتخاب غلظت‌های مناسب اسید سالیسیلیک و پراکسیدهیدروژن از روی شاخص درصد جوانه‌زنی بذرها، در ادامه تحقیق از این غلظت‌های بهینه اسید سالیسیلیک و پراکسیدهیدروژن چهت پرایمینگ بذرها استفاده گردید. پس از گذشت یک هفته دانه رست‌ها به محیط کشت هیدروپونیک حاوی محلول غذایی هوگلن تغییر یافته (۲۳)، منتقل و در شرایط کنترل شده آزمایشگاه (فتوپریود

اکسیژن در تنفس شوری، از سازوکارهای دفاع آنتی‌اکسیدانت آنزیمی و غیر‌آنزیمی بهره می‌برند (۱۷). در دهه‌های اخیر اثر تخفیف دهنده‌های مهمی از جمله ترکیبات سازگار اسمزی (پرولین، گلایسین بتائین و تره‌هالوز)، هورمون‌های گیاهی (اسید جیبریلک، جاسمونیک اسید، براسینواستروئیدها و سالیسیلیک اسید)، آنتی‌اکسیدانها (اسید آسکوربیک، گلوتاپون و توکوفرول)، مولکول‌های علامت دهنده (نیتریک اسید و پراکسید هیدروژن)، پلی آمین‌ها (اسپرمیدین، اسپرمن و پوترسین) و عنانصر مفید (سلنیم و یدات) برای کاهش آسیب‌های ناشی از شوری در گیاه مورد مطالعه قرار گرفته است (۲۲). یکی از روش‌های مرسوم و مؤثر برای کاهش آسیب‌های ناشی از تنفس شوری در گیاهان، روش پرایمینگ می‌باشد (۳۰). در این روش بذر گیاهان در داخل محلول مواد شیمیایی خاص مثل پرولین، پراکسید هیدروژن، هورمون‌ها و نیتریک اسید خیسانده می‌شود. پرایمینگ باعث ایجاد یک آمادگی اولیه در گیاه برای رویه رو شدن با تنفس می‌شود و متناسب با آن تغییرات فیزیولوژیک و بیوشیمیایی در دانه‌رست‌های حاصل از پرایمینگ ایجاد می‌کند (۳۰).

مشخص شده است که پرایمینگ بذر گیاهان با پراکسیدهیدروژن باعث تغییرات فیزیولوژیک و بیوشیمیایی در دانه‌رست‌های حاصل از پرایمینگ می‌شود و دانه‌رست‌هایی را که رشد یافته از بذرهای پرایمینگ شده با پراکسید هیدروژن مقاومت بالایی به تنفس‌ها نشان می‌دهند (۱۱). در پژوهش‌های متعدد نقش پرایمینگ پراکسید هیدروژن در کاهش آسیب‌های اکسیداتیو از طریق افزایش فعالیت سیستم آنتی‌اکسیدانت در گیاه ذرت (۱۴) و *Panax ginseng* (۲۹) نشان داده شده است. همچنین تحقیقات زیادی درباره تأثیر پرایمینگ بذر گیاهان با اسید سالیسیلیک بهمنظور تخفیف تنفس شوری انجام شده است. ولی درباره تأثیر تیمار پرایمینگ توأم اسید سالیسیلیک و پراکسید هیدروژن در شرایط شوری تحقیقات کمی وجود دارد. از

فتوسیستم‌ها ( $\text{PI}_{\text{ABS}}$ ) و بیشینه عملکرد کوانتومی فتوسیستم  $\text{II}$  ( $\text{F}_v/\text{F}_m$ ) انجام شد (۳۳).

اندازه‌گیری پروتئین کل: عصاره پروتئینی در بافر فسفات سدیم با غلظت  $۵۰ \text{ mM}$  و  $\text{pH}=۶/۸$  استخراج شده و به مدت  $۲۰$  دقیقه در  $۱۵۰۰ \text{ g}$  سانتریفوژ شد. از رو شناور حاصل برای سنجش پروتئین کل به روش برادفورد (۸) استفاده شد.

سنجش فعالیت آنزیم فنیلآلانین آمونیالیاز: فعالیت فنیل آلانین آمونیالیاز (PAL) مطابق روش زوکر (۳۸) مورد اندازه‌گیری قرار گرفت. ابتدا عصاره آنزیمی در بافر  $۵/۰ \text{ mM}$  بافر فسفات سدیم با  $\text{pH}=۷/۸$  و حاوی اتیلن دی‌آمین تتراستیک اسید (EDTA) با غلظت  $۱۸ \text{ mM}$ ،  $۲ \text{ mM}$  مركاپتواتانول و  $۰/۱ \text{ mM}$  درصد تریتون X-100 استخراج شد. عصاره‌ها به مدت  $۱۵$  دقیقه در  $۱۵۰۰ \text{ g}$  سانتریفوژ شده و رو شناور برای سنجش فعالیت مورد استفاده قرار گرفت.  $۱۰۰ \text{ میکرولیتر}$  از عصاره به یک میلی‌لیتر از محلول واکنشی شامل  $۵۰ \text{ mM}$  بافر سدیم بورات ( $\text{pH}=۸/۸$ ) و  $۵ \text{ mM}$ -فنیل آلانین اضافه شده و مخلوط حاصل به مدت  $۶۰$  دقیقه در دمای  $۳۰$  درجه به منظور انجام واکنش قرار گفت. جذب نمونه‌ها در  $۲۹۰ \text{ nm}$  توسط اسپکتروفوتومتر اندازه‌گیری شد. یک واحد فعالیت آنزیم بر اساس غلظت پروتئین آنزیمی لازم برای تولید یک نانومول سینامیک اسید محاسبه شد.

سنجش فنل کل: از آنجایی که بیشترین ترکیبات فنلی گیاهان از نوع پلی‌فنل‌ها می‌باشد، برای سنجش فنل کل از روش معرف فنلی فولین‌سیوکالترو استفاده شد (۲۶). برای این منظور،  $۵ \text{ گرم}$  بافت سبز برگ یا ژل برگ جداسازی شده و پس از پودر شدن توسط هاون در  $۱۰۰ \text{ میلی‌لیتر آب}$  مقطر به مدت  $۳۰$  دقیقه جوشانده شد و با استفاده از کاغذ واتمن شماره  $۴۲$  صاف گردید. غلظت  $۲۵۰ \text{ میکرولیتر}$  معرف فولین با  $۲۵ \text{ میکرولیتر}$  عصاره و  $۵۰۰ \text{ میکرولیتر}$  محلول آبی کربنات سدیم  $۲۰$  درصد مخلوط شد. نمونه

$۲۴$  ساعت روشنایی و  $۱۰$  ساعت تاریکی، دمای روزانه  $۶۸$  درجه سانتی‌گراد و شبانه  $۱۸$  درجه سانتی‌گراد، رطوبت درصد و شدت نور  $۲۱۰ \text{ میکرومول بر مترمربع در ثانیه}$  کشت شدند. pH محلول غذایی در  $۶/۵$  تنظیم گردید. پس از گذشت دو هفته، نمک  $\text{NaCl}$  در غلظت  $۲۰۰ \text{ میلی مولار}$  در محلول غذایی هوگلند تغییر یافته حل شد و در دو مرحله به تیمارهای شوری داده شد. درنهایت پس از گذشت  $۷$  روز از اعمال شوری برداشت نمونه‌ها انجام شد.

سنجش شاخص فلوئورسانس کلروفیل و آزمون جیپ (JIP): جهت تعیین فلوئورسانس کلروفیل، از دستگاه PEA, Hansatech Instruments Ltd., (King's Lynn, Norfolk, PE 32 1JL, England) استفاده شد. شاخص فلوئورسانس کلروفیل در برگ‌های سازش یافته با تاریکی (به مدت حداقل  $۲۰$  دقیقه) شامل  $\text{F}_0$  (فلوئورسانس پایه) و  $\text{F}_m$  (فلوئورسانس بیشینه) اندازه‌گیری شد. برای رسم منحنی فلورسانس از آزمون جیپ بهره گرفته شد. آزمون جیپ داده‌های ثبت شده اولیه توسط دستگاه فلوئورسانس سنج را به شاخص بیوفیزیکی تبدیل می‌کند و کمیت مراحل جریان انرژی را طی فتوسیستم  $\text{II}$  تعیین می‌کند. برای تولید منحنی فلورسانس OJIP، از نور قرمز با طول موج  $۶۲۷ \text{ نانومتر}$  و شدت  $۳۵۰۰ \text{ میکرومول/مترمربع/ثانیه}$  (برای اطمینان از رسیدن به پیک  $\text{F}_m$ ) استفاده به عمل آمد. شاخص‌های زیر در اندازه‌گیری‌های فلورسانس اولیه مورد استفاده قرار گرفت: شدت فلورسانس بیشینه ( $\text{F}_m$ )، شدت فلورسانس در  $۵۰ \mu\text{s}$  (به عنوان  $\text{F}_0$  در نظر گرفته شود)، شدت فلورسانس در  $۳۰۰ \mu\text{s}$  ( $\text{F}_{300\mu\text{s}}$ ) جهت محاسبه شبیه اولیه ( $\text{M}_0$ ) از نسبت فلورسانس متغیر( $V$ ) و شدت فلورسانس در  $۲\text{ms}$  (مرحله J) که نشانگر  $\text{F}_r$  است به کار برده می‌شود. سپس محاسبات لازم برای به دست آوردن سایر پارامترها از جمله شدت فلورسانس بیشینه ( $\text{F}_m$ )، شدت فلورسانس در  $۵۰ \text{ میکروثانیه}$  (به عنوان  $\text{F}_0$  در نظر گرفته شد)، شدت فلورسانس در  $۳۰۰ \text{ میکروثانیه}$  ( $\text{F}_{300\mu\text{s}}$ )، شاخص کارآیی

۱۵۰ میکرومول/ مترمربع/ ثانیه به منظور انجام واکنش قرار گرفت. برای تهیه نمونه‌های شاهد مخلوط فوق بدون افزودن عصاره آنزیمی تهیه گردید و جذب نمونه‌ها در ۵۶۰ نانومتر توسط اسپکتروفوتومتر اندازه‌گیری شد. یک واحد فعالیت آنزیم بر اساس غلظت پروتئین آنزیمی لازم برای القاء ۵۰ درصد ممانعت از احیاء NBT در مقایسه با نمونه‌های شاهد بدون عصاره آنزیمی محاسبه شده و به صورت واحد فعالیت بر میلی‌گرم پروتئین بیان گردید.

فعالیت آنزیم کاتالاز (CAT) مطابق روش سایمون و همکارانش (۳۲) و بر اساس کاهش جذب پراکسید هیدروژن ( $H_2O_2$ ) در ۲۴۰ nm مورد اندازه‌گیری قرار گرفت. عصاره آنزیمی پس از پودر شدن نمونه‌ها در ازت مایع، در بافر فسفات با غلظت mM ۵۰ و pH=۷ استخراج شده و به مدت ۱۰ دقیقه در ۱۰۰۰۰ دور سانتریفیوژ گردید. برای سنجش فعالیت آنزیم غلظت مناسبی از عصاره به محلول واکنش شامل بافر فسفات ۵۰ میلی مولار (pH=۷) و ۱۰ میلی مولار از  $H_2O_2$  افزوده شده و تعییرات جذب به مدت دو دقیقه توسط اسپکتروفوتومتر مورد اندازه‌گیری قرار گرفت. درنهایت فعالیت آنزیم بر اساس ضریب خاموشی پراکسیدهیدروژن بر میلی‌گرم پروتئین در دقیقه محاسبه گردید.

سنجش پراکسیداسیون لیپیدها و مقدار پراکسید هیدروژن ( $H_2O_2$ ): سنجش مالون دی آلدئید (MDA) به عنوان معیاری برای بررسی میزان پراکسیداسیون لیپیدها بر اساس روش بومیتان و دوران (۷) صورت گرفت. عصاره برگ در محلول ۰/۱ درصد تری کلرواستیک اسید (TCA) استخراج شده و به مدت پنج دقیقه در ۱۰۰۰۰ دور سانتریفیوژ گردید. نسبت ۱ به ۴ از رو شناور با محلول درصد از تری کلرواستیک اسید حاوی ۰/۵ درصد تیوباریتوريک اسید در لوله آزمایش باهم مخلوط شده و به مدت ۳۰ دقیقه در حمام آب گرم با دمای ۹۵ درجه

های شاهد فاقد عصاره بودند. پس از قرار دادن نمونه‌ها در دمای آزمایشگاه به مدت ۳۰ دقیقه جذب آنها در طول موج ۷۶۵ نانومتر اندازه‌گیری شد و غلظت فنل کل بر اساس منحنی استاندارد اسید گالیک به دست آمد. برای هر عصاره این سنجش ۴ بار تکرار شد و میانگین فنل کل موجود در عصاره تیمارها به صورت میلی‌گرم اسید گالیک در گرم بافت بیان شد.

سنجش فلاونوئیدها: برای سنجش غلظت فلاونوئیدها، نمونه‌های برگ در متابول حاوی آلومینیوم کلراید دو درصد استخراج شده و پس از سانتریفیوژ، رو شناور برداشت و جذب آن در طول موج ۴۱۵ نانومتر قرائت شد. از غلظت های مختلف کوئرستین (صفرتا ۱۶ میلی‌گرم در لیتر) به عنوان استاندارد استفاده گردید و غلظت فلاونوئیدها براساس واحد mg quercetin g<sup>-۱</sup> FW محاسبه شد (۳۲).

سنجش فعالیت آنزیم‌های آنتی‌اکسیدانت: فعالیت آنزیم سوپراکسید دیس موتاز (SOD) مطابق روش جیانوپولیتیس و رایس (۱۳ و ۱۶) و بر اساس درصد ممانعت از احیاء NBT به ترکیب ارغوانی رنگ دی فورمازان بوسیله رادیکال سوپراکسید ( $O_2^-$ ) حاصل از فتویلیز ریبوفلاوین، توسط آنزیم موجود در عصاره مورد اندازه‌گیری قرار گرفت. نمونه‌ها بالافاصله پس از برداشت در ازت مایع، پودر شده و عصاره آنزیمی در بافر mM ۲۵ از هیدروکسی اتیل پیپرازین اتان سولفونیک اسید (HEPES) با pH=۷/۸ و pH=۷/۶ اتیلن دی آمین تترا اسٹیک اسید (EDTA) با غلظت ۰/۱ میلی مولار استخراج شد. عصاره‌ها به مدت ۱۵ دقیقه در ۱۵۰۰۰ دور سانتریفیوژ شده و رو شناور برای سنجش فعالیت مورد استفاده قرار گرفت. ۱۰۰ میکرولیتر از عصاره به یک میلی‌لیتر از محلول واکنشی شامل ۲۵ میلی مولار HEPES با pH=۷/۶، ۰/۱ میلی مولار EDTA، ۵۰ میلی مولار Na<sub>2</sub>CO<sub>3</sub> با pH=۱۰/۲)، ۱۲ میلی مولار L-متیونین، ۷۵ میکرومولار NBT و ۱ میکرومولار ریبوفلاوین اضافه شده و مخلوط حاصل به مدت ۲۰ دقیقه در شدت نور

**طرح آزمایشی و تجزیه داده‌ها:** آزمایش در قالب طرح بلوک‌های کامل تصادفی با چهار تکرار اجرا شد. تجزیه و تحلیل داده‌ها با کمک نرمافزار سیگما استات (نسخه ۳/۵) با استفاده از تست توکی در سطح پنج درصد انجام گردید.

## نتایج

تعیین غلظت مناسب اسید سالیسیلیک و پراکسید هیدروژن جهت پرایمینگ بذرها: برای تعیین غلظت مناسب اسید سالیسیلیک و پراکسید هیدروژن جهت پرایمینگ بذرها، تأثیر سطوح مختلف اسید سالیسیلیک (۱/۱، ۰/۵ و ۰/۱ میلی مولار) و پراکسید هیدروژن (۱، ۲۰ و ۲۰۰ میلی مولار) بر جوانه‌زنی بذرها مطالعه شد. نتایج نشان داد که پرایمینگ بذرها با ۱ میلی مولار اسید سالیسیلیک یا ۲۰۰ میلی مولار پراکسید هیدروژن باعث کاهش معنی‌دار درصد جوانه‌زنی بذرها گردید (جدول ۱). درصد جوانه‌زنی بذرها در تیمار ۰/۵ میلی مولار اسید سالیسیلیک یا ۲۰ میلی مولار پراکسید هیدروژن با درصد جوانه‌زنی بذرها در تیمار شاهد تفاوت معنی‌دار نشان نداد. بنابراین در ادامه تحقیق از این غلظت‌های اسید سالیسیلیک و پراکسید هیدروژن جهت پرایمینگ بذرها استفاده گردید.

جدول ۱- تأثیر پرایمینگ اسید سالیسیلیک و پراکسید هیدروژن بر درصد جوانه‌زنی بذرها درصد جوانه‌زنی بذرها

شده‌اند معنی‌دار می‌باشد ( $P \leq 0/05$ ).

تیمار	شاهد
درصد جوانه‌زنی بذرها	۹۱±۲.۵ <sup>a</sup>
۸۷±۴.۳ <sup>a</sup>	۰/۱ میلی مولار
۹۵±۳.۲ <sup>a</sup>	۰/۵ میلی مولار
۷۴±۴.۱ <sup>b</sup>	۱ میلی مولار
۹۰±۵.۷ <sup>a</sup>	۱ میلی مولار
۹۶±۴.۰ <sup>a</sup>	۲۰ میلی مولار
۳۵±۶.۹ <sup>b</sup>	۲۰۰ میلی مولار

شاهد شد (شکل ۱). هرچند پرایمینگ پراکسید هیدروژن در غلظت ۲۰ میلی مولار مانع از افت معنی‌دار وزن خشک ساقه در شرایط شوری شد. بررسی تأثیر پرایمینگ بذرها

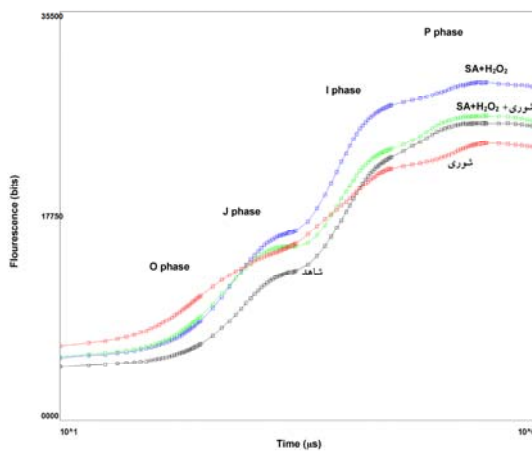
سانتی‌گراد قرار گرفت. سپس لوله‌ها به سرعت در يخ سرد شده و به مدت ۱۵ دقیقه در ۱۰۰۰۰ دور سانتریفوژ شدند. هم‌زمان با عصاره‌های برگ محلول‌های استاندارد در محدوده صفرتا ۱۰۰ نانومول از ۱-۱،۳،۳ ترا اتوکسی پروپیان تهیه شده و جذب نمونه‌ها در ۵۳۲ نانومتر توسط اسپکتروفوتومتر مورد اندازه‌گیری قرار گرفت. درنهایت غلظت مالون دی‌آلدئید نمونه‌ها بر حسب نانومول بر گرم وزن تر محاسبه شد.

غلظت پراکسید هیدروژن ( $H_2O_2$ ) براساس روش ولیکوا و همکاران (۳۵) به دست آمد. محلول استخراج برگ‌ها محلول‌تری کلرواستیک اسید (۰/۱ درصد وزنی به حجمی) بود. عصاره‌ها به مدت ۱۵ دقیقه در ۱۲۰۰۰ دور سانتریفوژ شده و رو شناور مورد استفاده قرار گرفت. درنهایت ۵۰۰ میکرولیتر از عصاره به یک میلی‌لیتر از محلول واکنشی شامل ۱۰ میلی مولار بافر فسفات پتاسیم ( $pH=7$ ) و یک مولار یدید پتاسیم اضافه شده و مخلوط حاصل به مدت ۶۰ دقیقه در تاریکی به منظور انجام واکنش قرار گرفت. جذب نمونه‌ها در ۳۹۰ نانومتر توسط اسپکتروفوتومتر اندازه‌گیری شد. مقادیر براساس منحنی استاندارد  $H_2O_2$  در محدوده صفرتا ۵۰ نانومول محاسبه شد.

جدول ۱- تأثیر پرایمینگ اسید سالیسیلیک و پراکسید هیدروژن بر درصد جوانه‌زنی بذرها

تأثیر پرایمینگ بذرها با اسید سالیسیلیک و پراکسید هیدروژن بر شاخص رشد در شرایط شوری: شوری باعث افت معنی‌دار وزن تر و خشک ساقه نسبت به

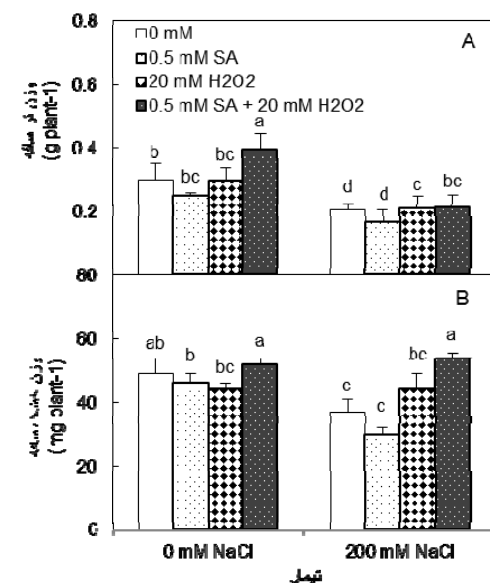
فلورسانس در فاز OJ افزایش چشمگیری یافته است. پرایمینگ توأم اسید سالیسیلیک و پراکسید هیدروژن به تنهایی شدت فلورسانس در فاز OJ را به صورت چشمگیری افزایش داد (شکل ۲). پرایمینگ توأم اسید سالیسیلیک و پراکسید هیدروژن توانست باعث تخفیف اثرات شوری بر منحنی فلورسانس گردد و شدت فلورسانس در فاز IP را نسبت به شاهد افزایش دهد.



شکل ۲- تأثیر پرایمینگ توأم اسید سالیسیلیک و پراکسید هیدروژن بر تغییرات منحنی فلورسانس OJIP (محور عمودی شدت فلورسانس و محور افقی زمان براساس میکروثانیه است) برگ‌های گندم در شرایط شوری. برای تولید منحنی فلورسانس OJIP. از نور قرمز با طول موج ۶۲۷ نانومتر و شدت ۳۵۰۰ میکرومول بر مترمربع در ثانیه (برای اطمینان از رسیدن به پیک  $F_m$ ) استفاده شد.

بررسی شاخص فلورسانس کلروفیل در برگ‌های شوری دیده نشان داد که هرچند مقدار بیشینه عملکرد کوانتموی فتوسیستم II در برگ‌های شوری دیده تفاوت معنی‌داری در مقایسه با برگ‌های شاهد نشان نداد ولی شاخص کارآیی فتوسیستم‌های برگ‌های شوری دیده در مقایسه با برگ‌های شاهد کاهش معنی‌دار نشان داد (شکل ۳). همچنین شاخص بیشینه عملکرد کوانتموی فتوسیستم II تحت تأثیر هیچ‌کدام از تیمارهای پرایمینگ پراکسید هیدروژن به تنهایی و اسید سالیسیلیک به تنهایی و پرایمینگ توأم اسید سالیسیلیک و پراکسید هیدروژن قرار نگرفت. کارآیی فتوسیستم‌های برگ‌های تیمار شده با

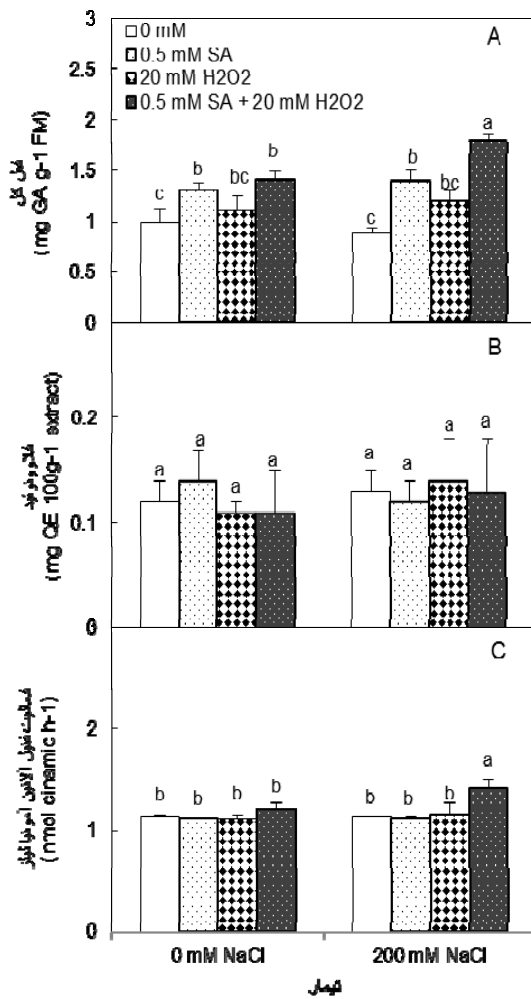
گندم با اسید سالیسیلیک بر شاخص رشد دانه رستهای گندم نشان داد که هرچند پرایمینگ اسید سالیسیلیک به تنهایی اثری بر وزن خشک ساقه در شرایط شوری نداشت ولی پرایمینگ توأم اسید سالیسیلیک و پراکسید هیدروژن مانع از افت معنی‌دار وزن تر و خشک ساقه در شرایط شوری شد و توانست اثر شوری را تخفیف دهد. همچنین پرایمینگ توأم اسید سالیسیلیک و پراکسید هیدروژن در شرایط غیرشور باعث افزایش معنی‌دار وزن تر نسبت به شاهد شد (شکل ۱).



شکل ۱- تأثیر پرایمینگ اسید سالیسیلیک و پراکسید هیدروژن بر شاخص رشد دانه رستهای گندم در شرایط شوری. تفاوت بین اعداد مربوط به ستون‌ها که با حروف متفاوت نشان داده‌اند معنی‌دار می‌باشد ( $P \leq 0.05$ ).

تأثیر پرایمینگ بر تغییرات منحنی فلورسانس OJIP برگ‌ها در شرایط شوری: برای رسم منحنی فلورسانس از تست JIP بهره گرفته شد. تست JIP داده‌های ثبت شده اولیه توسط دستگاه فلورسانس سنج را به شاخص بیوفیزیکی تبدیل می‌کند و کمیت مراحل جریان انرژی را طی فتوسیستم II تعیین می‌کند. بررسی تغییرات منحنی فلورسانس در شرایط شوری نشان داد که شدت

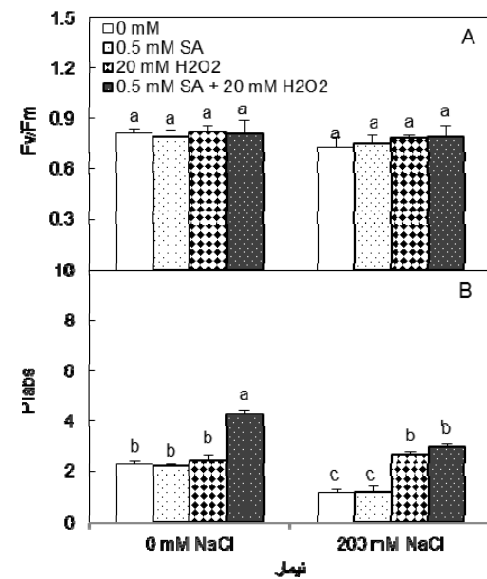
نسبت به شاهد گردید (شکل ۴). تیمار پرایمینگ توفم اسید سالیسیلیک و پراکسید هیدروژن در شرایط غیرشور افزایش معنی‌داری در مقایسه با برگ‌های شاهد نشان داد. با اعمال تیمار پرایمینگ پراکسید هیدروژن به تنها یی و پرایمینگ توفم اسید سالیسیلیک و پراکسید هیدروژن در شرایط شور، تأثیر منفی شوری بر کارآیی فتوسیستم‌ها تخفیف یافت (شکل ۳). هرچند تیمار پرایمینگ اسید سالیسیلیک به تنها یی در شرایط شور، نتوانست تأثیر منفی شوری بر کارآیی فتوسیستم‌ها را تخفیف دهد.



شکل ۴- تأثیر پرایمینگ اسید سالیسیلیک و پراکسید هیدروژن بر فعالیت آنزیم فنیل آلانین آمونیالیاز و غلظت فنل کل و فلاوونوئید برگ‌های گندم در شرایط شوری. تفاوت بین اعداد مربوط به ستون‌ها که با حروف متقاوت نشان داده شده‌اند معنی‌دار می‌باشد ( $P \leq 0.05$ ). (P).

اثر پرایمینگ بر فعالیت سیستم آنتی‌اکسیدانت در شرایط شوری: هیچ کدام از تیمارهای شوری، تیمارهای پرایمینگ پراکسید هیدروژن به تنها یی و اسید سالیسیلیک به تنها یی و پرایمینگ توفم اسید سالیسیلیک و پراکسید هیدروژن بر فعالیت آنزیم سوپراکسید دیسموتاز اثر نداشتند (شکل ۵).

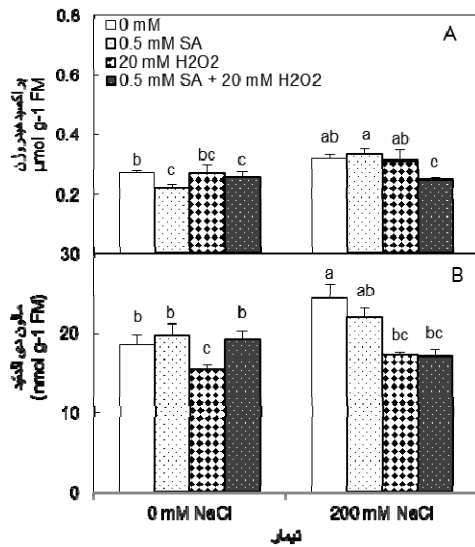
پرایمینگ توفم اسید سالیسیلیک و پراکسید هیدروژن در شرایط غیرشور افزایش معنی‌داری در مقایسه با برگ‌های شاهد نشان داد. با اعمال تیمار پرایمینگ پراکسید هیدروژن به تنها یی و پرایمینگ توفم اسید سالیسیلیک و پراکسید هیدروژن در شرایط شور، تأثیر منفی شوری بر کارآیی فتوسیستم‌ها تخفیف یافت (شکل ۳). هرچند تیمار پرایمینگ اسید سالیسیلیک به تنها یی در شرایط شور، نتوانست تأثیر منفی شوری بر کارآیی فتوسیستم‌ها را تخفیف دهد.



شکل ۳- تأثیر پرایمینگ اسید سالیسیلیک و پراکسید هیدروژن بر بیشینه عملکرد کوانتومی فتوسیستم II ( $F_v/F_m$ ) و شاخص کارآیی فتوسیستم‌ها در برگ‌های گندم در شرایط شوری. تفاوت بین اعداد مربوط به ستون‌ها که با حروف متقاوت نشان داده شده‌اند معنی‌دار می‌باشد ( $P \leq 0.05$ ). (P).

تأثیر پرایمینگ بر متابولیسم فنلی در شرایط شوری: شوری به تنها یی بر فعالیت آنزیم فنیل آلانین آمونیالیاز و غلظت فنل کل و فلاوونوئید اثر نداشت (شکل ۴). تیمار پرایمینگ پراکسید هیدروژن به تنها یی در شرایط شور و غیرشور، نتوانست تغییری در فعالیت آنزیم فنیل آلانین آمونیالیاز و غلظت فنل کل ایجاد کند. ولی پرایمینگ بذرها با اسید سالیسیلیک باعث افزایش معنی‌دار غلظت فنل کل

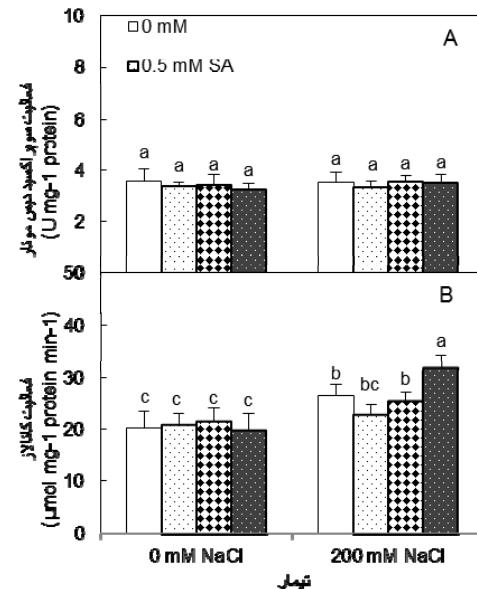
کاهش رشد پس از اعمال شوری بالا در مطالعات مختلف و در گیاهان مختلف به اثبات رسیده است (۱۸ و ۱۹).



شکل ۶- تأثیر پرایمینگ اسید سالیسیلیک و پراکسید هیدروژن خارجی بر غلاظت مالون دی آلدید و پراکسید هیدروژن برگ‌های گندم در شرایط شوری. تفاوت بین اعداد مربوط به ستون‌ها که با حروف متفاوت نشان داده شده‌اند معنی دار می‌باشد ( $P \leq 0.05$ )

در همین راستا، تیمار شوری ۲۰۰ میلی مولار باعث کاهش معنی دار وزن تر و خشک گندم شد. پرایمینگ بذرهای گندم با پراکسید هیدروژن (۲۰ میلی مولار) باعث تخفیف اثرات مضر شوری بر شاخص رشد شد. تخفیف اثرات مضر شوری بر شاخص رشد در بذرهای ذرت (۹) و جو (۲۵) پرایم شده با پراکسید هیدروژن، گزارش شده است. با در نظر گرفتن شاخص رشد، پرایمینگ توأم اسید سالیسیلیک و پراکسید هیدروژن توانست اثر تنفس شوری را تخفیف دهد، بطوری که مقدار وزن خشک ساقه‌های شوری دیده در تیمار پرایمینگ توأم اسید سالیسیلیک و پراکسید هیدروژن افت نکرد. مشابه اثر کاربرد سایر تنظیم‌کننده‌های رشد گیاه، که بستگی زیادی به گونه و نیز تعادل هورمونی آن گونه در شرایط شاهد و یا تنفسی دارد (۲۰)، کاربرد اسید سالیسیلیک به عنوان یک ترکیب هورمونی نیز به عوامل علامت‌دهی و تعادل سایر

بیشترین فعالیت آنزیم کاتالاز در تیمارهای شوری مشهود بود. پرایمینگ توأم اسید سالیسیلیک و پراکسید هیدروژن توانست فعالیت آنزیم کاتالاز برگ‌های گندم را در شرایط شور به شدت افزایش دهد.



شکل ۵- تأثیر پرایمینگ اسید سالیسیلیک و پراکسید هیدروژن بر فعالیت آنزیم سوپراکسید دیسموتاز و کاتالاز برگ‌های گندم در شرایط شوری. تفاوت بین اعداد مربوط به ستون‌ها که با حروف متفاوت نشان داده شده‌اند معنی دار می‌باشد ( $P \leq 0.05$ )

اعمال شوری باعث افزایش معنی دار غلاظت پراکسید هیدروژن ( $H_2O_2$ ) و مالون دی آلدید در برگ‌های گندم گردید (شکل ۶). با اعمال پرایمینگ توأم اسید سالیسیلیک و پراکسید هیدروژن در شرایط شور، تأثیر منفی شوری تخفیف یافت و غلاظت پراکسید هیدروژن ( $H_2O_2$ ) و مالون دی آلدید در برگ‌های گندم کاهش نشان داد. هرچند تیمار پرایمینگ اسید سالیسیلیک در شرایط شور، توانست غلاظت مالون دی آلدید حاصل از پراکسیداسیون غشاها را بکاهد.

## بحث

**تأثیر پرایمینگ بر شاخص رشد در شرایط شوری:**

دی‌اکسید کربن در برگ‌ها همبستگی دارد (۳۴). درباره نقش پرایمینگ بذرها در تخفیف اثر مضر شوری بر واکنش‌های فتوشیمیابی گیاهی اطلاعات اندکی در دست است و تنها تأثیر مثبت پرایمینگ نیتریک اکسید بر واکنش‌های فتوشیمیابی چون در قند مطالعه شده است (۳۱). در این تحقیق، افزایش پارامتر  $PI_{abs}$  در برگ‌های شوری دیده تیمار شده با پرایمینگ توأم اسید سالیسیلیک و پرایسید هیدروژن نسبت به برگ‌های شوری دیده تیمار نشده با پرایمینگ توأم اسید سالیسیلیک و پرایسید هیدروژن نشان داد که کاربرد پرایمینگ توأم اسید سالیسیلیک و پرایسید هیدروژن توانست باعث ترمیم ظرفیت فتوستتری و سرعت ثبت دی‌اکسید کربن در برگ‌های شوری دیده شود و تأثیر منفی شوری بر کارآیی فتوسیستم‌ها را تخفیف دهد.

**تأثیر پرایمینگ بر پتانسیل آنتی اکسیدانتی و متابولیسم فنلی در شرایط شوری:** وقتی گیاهان در معرض تنفس شوری قرار می‌گیرند تولید مولکول‌های اکسیژن فعال (Reactive Oxygen Species, ROS) در آنها افزایش می‌یابد (۲۷). تنفس شوری باعث تجمع انباست اندواع اکسیژن فعال در سلول و آسیب رساندن به لیپیدهای غشا و انباست مالون دی‌آلدئید، آسیب به پروتئین‌ها و اسیدهای نوکلئیک می‌شود (۱). افزایش مولکول‌های  $H_2O_2$  و مالون دی‌آلدئید می‌تواند باعث مهار رشد و کاهش توان سازگاری گیاه در برابر تنفس شوری شود (۱۷). فدینا و همکاران (۱۲) گزارش کردند که استفاده از تیمار پرایمینگ بذور با پرایسید هیدروژن با افزایش فعالیت آنزیم‌های آنتی اکسیدانت باعث کاهش غلظت  $H_2O_2$  و مالون دی‌آلدئید می‌شود. در توافق با یافته فوق، در این آزمایش نیز کاهش غلظت مالون دی‌آلدئید به عنوان معیاری از پرایسیداسیون لیپیدها در تیمار توأم شوری و پرایمینگ پرایسیدهیدروژن نسبت به تیمار شوری نشان داده شد. بر اساس گزارش کیم و همکاران (۲۷) در گیاه کاهو تیمار کوتاه مدت شوری باعث افزایش انباست فنل‌ها می‌گردد.

تنظیم‌کننده‌ها بستگی دارد (۱۵) و در گندم کاربرد سالیسیلیک اسید فقط در حضور پرایسید هیدروژن باعث تخفیف تنفس شوری شد.

**تأثیر پرایمینگ بر شاخص فلورسانس کلروفیل در شرایط شوری:** با اعمال شوری، منحنی فلورسانس برگ‌های گندم شکل مستطحی را نشان داد و شدت فلورسانس در فاز IP کاهش شدیدی را نشان داد. کاهش فاز IP که با کاهش شدت فلورسانس بیشینه ( $F_m$ ) در ارتباط می‌باشد نشان‌دهنده غیرفعال شدن پروتئین‌ها در ساختار فتوسیستم II می‌باشد که در همه برگ‌های گندم در پاسخ به شوری مشاهده شد (۲۱). پرایمینگ بذرو با پرایسید هیدروژن ۲۰ میلی مولار باعث تخفیف اثرات شوری برشدت فلورسانس در فاز IP شد و شکل منحنی فلورسانس را به شکل منحنی فلورسانس شاهد نزدیک ساخت. پرایمینگ توأم اسید سالیسیلیک و پرایسید هیدروژن باعث تخفیف اثرات شوری برشدت فلورسانس را به شکل منحنی فلورسانس شاهد نزدیک ساخت. با این حال شدت فلورسانس در فاز J در برگ‌های تیمار شده با شوری و پرایمینگ توأم اسید سالیسیلیک و پرایسید هیدروژن بالا بود. افزایش شدت فلورسانس در فاز J با کاهش ذخایر کوئینون A احیاء (QAH2) و پلاستوکوئینون احیاء (PQH2) مرتبط می‌باشد (۱۸).

شاخص  $F_v/F_m$  یکی از شاخص‌های مهم جهت تعیین مقاومت به انواع تنفس‌ها از جمله پاتوتژن‌ها (۲۸)، خشکی و دما (۱۰) می‌باشد سنجش  $F_v/F_m$  برگ‌های گیاه گندم نشان داد که این پارامتر در پاسخ به شوری تغییری نشان نداد. هرچند شاخص  $PI_{abs}$  در برگ‌های این گیاه در پاسخ به شوری کاهش معنی‌دار نشان داد. این یافته با نتایج تحقیق زیوسک و همکاران (۳۶) که نشان دادند پارامتر  $PI_{abs}$  در مقایسه با پارامتر  $F_v/F_m$  به تنفس‌های محیطی حساس‌تر است، در اطباق می‌باشد. پارامتر  $PI_{abs}$  یک پارامتر کمپلکس است که با ظرفیت فتوستتری و میزان ثبت

مقاوم نبوده و شوری میزان پراکسیداسیون لیپیدها را افزایش داده و رشد را مهار کرده است. با کاهش مالون دی آلدئید در دانه رستهای حاصل از پرایمینگ پراکسید هیدروژن ۲۰ میلی مولار، آسیب شوری بر ظرفیت فتوسترنزی و وزن خشک تخفیف یافت و ظرفیت فتوشیمیابی فتوسیستم‌ها در شرایط شوری حفظ گردید. نتایج بررسی اثر پرایمینگ توأم اسید سالیسیلیک و پراکسید هیدروژن نشان داد که اثرات متقابل اسید سالیسیلیک و پراکسید هیدروژن بر روی اکثربیت شاخص سنجش شده معنی‌دار می‌باشد. با اینکه تیمار پرایمینگ اسید سالیسیلیک نتوانست باعث تخفیف اثرات تنش شوری بر رشد و فتوسترنز کند شود، دانه‌رستهای رشد یافته از پرایمینگ توأم اسید سالیسیلیک و پراکسید هیدروژن مقاومت بیشتری به تنش شوری نشان دادند. این افزایش مقاومت با افزایش قابل ملاحظه توان آنتی‌اکسیدانت (بخاطر افزایش فلن کل و فعالیت کاتالاز) و در نتیجه کاهش شاخص پراکسیداسیون لیپیدها (MDA) مرتبط بود. در نتیجه ظرفیت فتوشیمیابی فتوسیستم‌ها در دانه‌رستهای حاصل از پرایمینگ توأم اسید سالیسیلیک و پراکسید هیدروژن در شرایط شوری حفظ گردید. اینکه چرا پرایمینگ توأم اسید سالیسیلیک و پراکسید هیدروژن توانست باعث تخفیف اثرات تنش شوری بر رشد و فتوسترنز کند شود ولی تیمار پرایمینگ اسید سالیسیلیک به تنها‌یی نتوانست، نیازمند تحقیقات بیشتری است تا ابعاد برهم‌کنش اسید سالیسیلیک و پراکسید هیدروژن در فرآیند پرایمینگ روشن شود.

۲- ابراهیم‌زاده، م.، و ابراهیم‌زاده، ح.، ۱۳۹۲ رویانزایی بدنه و آنژیمهای پاداکساینده در بنگ سیاه (*Hyoscyamus niger*) (L.). مجله زیست‌شناسی ایران، جلد ۲۶، شماره ۲، صفحات ۱۶۷-۱۵۴.

هرچند در این تحقیق، تیمار شوری تغییری در فعالیت آنزیم فنیل آلانین آمونیالیاز (آنزیم کلیدی بیوسترنز فلن‌ها) و غلظت فلاونونئید و فلن کل ایجاد نکرد. مطالعات حاکی از نقش اسید سالیسیلیک در کاهش آسیب‌های اکسیداتیو از طریق افزایش فعالیت سیستم آنتی‌اکسیدانت و کاهش مقدار مالون دی آلدئید و پراکسیداسیون غشاها می‌باشد (۳). در این تحقیق، پرایمینگ توأم اسید سالیسیلیک و پراکسید هیدروژن فعالیت آنژیمهای سیستم آنتی‌اکسیدانت بویژه آنزیم کاتالاز را افزایش داد. کاتالاز یکی از آنژیمهای مهم جارو کننده  $H_2O_2$  محاسب می‌شود (۲). نتایج این تحقیق با نتایج سایر محققان که نقش پرایمینگ پراکسید هیدروژن در کاهش آسیب‌های اکسیداتیو از طریق افزایش فعالیت سیستم آنتی‌اکسیدانت در گیاه ذرت (۱۴) و *Panax ginseng* (۲۹) را نشان داده‌اند، در توافق می‌باشد. پرایمینگ توأم اسید سالیسیلیک و پراکسید هیدروژن باعث افزایش معنی‌دار غلظت فلن کل و فعالیت آنزیم فنیل آلانین آمونیالیاز نسبت به شاهد گردید. با عنایت به اینکه نقش افزایش فلن‌ها در افزایش توان آنتی‌اکسیدانت به اثبات رسیده است (۵ و ۶)، افزایش قابل ملاحظه فعالیت کاتالاز و فلن کل در تیمار پرایمینگ توأم اسید سالیسیلیک و پراکسید هیدروژن از ابناشت مقادیر بالای  $H_2O_2$  و پراکسیداسیون لیپیدها در شرایط شوری جلوگیری کرد.

### نتیجه‌گیری

بررسی شاخص‌های فلورسانس کلروفیل و پراکسیداسیون لیپیدها در گیاه گندم تیمار شده با شوری ۲۰۰ میلی مولار نشان داد که این رقم گندم در برابر این سطح از شوری

### منابع

- آریان، ز.، مرآتی، م. ج.، ابراهیم‌زاده معبد، ح.، هادیان، ج.، و میر معصومی، م.، ۱۳۹۷. تحلیل اثر تنش شوری و سالیسیلیک اسید بر برخی ویژگی‌های بیوشیمیابی و فیزیولوژیکی مرزه خوزستانی (*Satureja khuzistanica*). *Jamzad*.

گیاهی جلد ۳۱، شماره ۱، صفحات ۱۱۵-۱۰۴.

- 3- Alam, M. M., Hasanuzzaman, M., Nahar, K., and Fujita, M., 2013. Exogenous salicylic acid ameliorates short-term drought stress in mustard (*Brassica juncea* L.) seedlings by up-regulating the antioxidant defense and glyoxalase system, Australian Journal of Crop Science, 7(7), PP:1053-1063.
- 4- Anjum, S. A., Xie, X. Y., Wang, L. C., Saleem, M. F., Man, C., and Lei, W., 2011. Morphological, physiological and biochemical responses of plants to drought stress, African Journal of Agricultural Research ,6, PP: 2026-2032.
- 5- Blasco, B., Leyva, R., Romero, L., and Ruiz, J. M., 2013. Iodine effects on phenolic metabolism in lettuce plants under salt stress, Journal of Agricultural and Food Chemistry, 61(11), PP: 2591-2596.
- 6- Blasco, B., Ríos, J. J., Leyva, R., Cervilla, L. M., Sánchez-Rodríguez, E., Rubio-Wilhelmi, M. M., Rosales, M. A., Ruiz, J. M., and Romero, L., 2011. Does iodine biofortification affect oxidative metabolism in lettuce plants? Biological Trace Element Research, 142(3), PP: 831-842.
- 7- Boominathan, R., and Doran, P. M., 2002. Ni induced oxidative stress in roots of the Ni hyperaccumulator, *Alyssum bertoloni*, New Phytologist, 156, PP: 202-205.
- 8- Bradford, M. M., 1976. A rapid and sensitive method for quantitation of microgram quantities of protein utilizing the principle of protein-dye binding. Analytical Biochemistry, 72, PP: 248-254.
- 9- de Azevedo Neto, A. D., Prisco, J. T., Enéas-Filho, J., Medeiros, J. V., and Gomes-Filho, E., 2005. Hydrogen peroxide pre-treatment induces salt-stress acclimation in maize plants, Journal of Plant Physiology, 162, (10), PP: 1114-1122.
- 10- Ehlert, B., and Hincha, D. K., 2008. Chlorophyll fluorescence imaging accurately quantifies freezing damage and cold acclimation responses in *Arabidopsis* leaves, Plant Methods, 4(1), PP:1-12.
- 11- Ellouzi, H., Sghayar, S., and Abdelly, C., 2017.  $H_2O_2$  seed priming improves tolerance to salinity; drought and their combined effect more than mannitol in *Cakile maritima* when compared to *Eutrema salsugineum*. Journal of Plant Physiology, 210, PP: 38-50.
- 12- Fedina, I. S., Nedeva, D., and Cicek, N., 2009. Pre-treatment with  $H_2O_2$  induces salt tolerance in barley seedling, Biologia Plantarum, 53, PP: 32-324.
- 13- Giannopolitis, C. N., and Ries, S. K., 1977. Superoxide dismutase: occurrence in higher plants. Plant Physiology, 59, PP: 309-314.
- 14- Gondim, F. A., Miranda, R. D., Gomes-Filho, E., and Prisco, J. T., 2013. Enhanced salt tolerance in maize plants induced by  $H_2O_2$  leaf spraying is associated with improved gas exchange rather than with non-enzymatic antioxidant system. Theoretical and Experimental Plant Physiology, 25, PP: 251-260.
- 15- Habibi, G., 2012. Exogenous salicylic acid alleviates oxidative damage of barley plants in pots under drought, Acta Biologica Szegediensis, 56(1), PP: 57-63.
- 16- Habibi, G., and Hajiboland, R., 2012. Comparison of photosynthesis and antioxidative protection in *Sedum album* and *Sedum stoloniferum* (Crassulaceae) under water stress, Photosynthetica, 50, (4), PP: 508-518.
- 17- Habibi, G., 2014. Hydrogen peroxide ( $H_2O_2$ ) generation, scavenging and signaling in plants. In: *Oxidative Damage to Plants*, ed. P., Ahmad (Amsterdam: Elsevier), PP: 557-574.
- 18- Habibi, G., 2017. Physiological, photochemical and ionic responses of sunflower seedlings to exogenous selenium supply under salt stress, Acta Physiologiae Plantarum, 39(10), 213 p.
- 19- Hasanuzzaman, M., Hossain, M. A., da Silva, J. A., and Fujita, M., 2012. Plant responses and tolerance to abiotic oxidative stress: Antioxidant defenses is a key factors, In: *Crop stress and its management: Perspectives and strategies* (Eds), PP: 261-316. Springer, Berlin.
- 20- Hayat, Q., Hayat, S., Irfan, M., and Ahmad, A., 2010. Effect of exogenous salicylic acid under changing environment: a review. Environmental and Experimental Botany, 68, PP: 14-25.
- 21- Hazrati, S., Tahmasebi-Sarvestani, Z., Modarres-Sanavy, S. A., Mokhtassi-Bidgoli, A., and Nicola, S., 2016. Effects of water stress and light intensity on chlorophyll fluorescence parameters and pigments of *Aloe vera* L., Plant Physiology and Biochemistry, 106, PP: 141-148.
- 22- Iqbal, N., Masood, A., and Khan, N. A., 2012. Phytohormones in Salinity Tolerance: Ethylene and Gibberellins Cross Talk. In: Khan NA, Nazar R, Iqbal N, Anjum NA (Eds), *Phytohormones and Abiotic Stress Tolerance in Plants*, Springer, Berlin, PP:112-142.

- 23- Johnson, C. M., Stout, P. R., Broyer, T. C., and Carlton, A. B., 1957. Comparative chlorine requirements of different plant species, *Plant Soil*, 8, PP: 337-353.
- 24- Kawakami, K., Umena, Y., Kamiya, N., and Shen, J. R., 2009. Location of chloride and its possible functions in oxygen-evolving photosystem II revealed by X-ray crystallography, *Proceedings of the National Academy of Sciences USA* 106, PP: 8567-8572.
- 25- Kilic, S., and Kahraman, A., 2016. The Mitigation Effects of Exogenous Hydrogen Peroxide when Alleviating Seed Germination and Seedling Growth Inhibition on Salinity-Induced Stress in Barley, *Polish Journal of Environmental Studies*, 25, 3 p.
- 26- Mavi, A., Terzi, Z., and Ozgen, U., 2004. Antioxidant properties of some medicinal plants: *Prangos ferulacea* (Apiaceae), *Sedum sempervivoides* (Crassulaceae), *Malva neglecta* (Malvaceae), *Cruciata taurica* (Rubiaceae), *Rosa pimpinellifolia* (Rosaceae), *Galium verum* subsp. Verum (Rubiaceae), *Urtica dioica* (Urticaceae), *Biological and Pharmaceutical Bulletin*, 27, PP: 702-705.
- 27- Munns, R., James, R. A., and Läuchli, A., 2006. Approaches to increasing the salt tolerance of wheat and other cereals. *Journal of Experimental Botany*, 57(5), PP: 1025-1043.
- 28- Rousseau, C., Belin, E., Bove, E., Rousseau, D., Fabre, F., Berruyer, R., Guillaumès, J., Manceau, C., Jacques, M. A., and Boureau, T., 2013. High throughput quantitative phenotyping of plant resistance using chlorophyll fluorescence image analysis, *Plant Methods*, 9, 17 p.
- 29- Sathiyaraj, G., Srinivasan, S., Kim, Y. J., Lee, O. R., Parvin, S., Balusamy, S. R., Khorolragchaa, A., and Yang, D. C., 2014. Acclimation of hydrogen peroxide enhances salt tolerance by activating defense-related proteins in Panax ginseng CA Meyer. *Molecular Biology Reports*, 41, PP: 3761-3771.
- 30- Savvides, A., Ali, S., Tester, M., and Fotopoulos, V., 2016. Chemical priming of plants against multiple abiotic stresses: mission possible? *Trends in Plant Science*, 21(4), PP: 329-340.
- 31- Shi, H., Jiang, C., Ye, T., Tan, D.X., Reiter, R. J., Zhang, H., Liu, R., and Chan, Z., 2014. Comparative physiological, metabolomic, and transcriptomic analyses reveal mechanisms of improved abiotic stress resistance in bermudagrass (*Cynodon dactylon* L. Pers.) by exogenous melatonin, *Journal of Experimental Botany*, 66(3), PP: 681-694.
- 32- Simon, L. M., Fatrai, Z., Jonas, D. E., and Matkovics, B., 1974. Study of Peroxide Metabolism Enzymes during the Development of *Phaseolus vulgaris*. *Biochemie und Physiologie der Pflanzen*, 166(5-6), PP: 387-392.
- 33- Strasser, R. J., Tsimilli-Michael, M., and Srivastava, A., 2004. Analysis of the chlorophyll *a* fluorescence transient. In: *Chlorophyll *a* Fluorescence: A Signature of Photosynthesis* (Ed. Papageorgiou GC), PP: 321-362. Springer, Dordrecht.
- 34- Van Heerden, P. D. R., Swanepoel, J. W., and Krüger, G. H. J., 2007. Modulation of photosynthesis by drought in two desert scrub species exhibiting C<sub>3</sub>-mode CO<sub>2</sub> assimilation, *Environmental and Experimental Botany*, 61(2), PP: 124-136.
- 35- Velikova, V., Yordanov, I., and Edreva, A., 2000. Oxidative stress and some antioxidant systems in acid rain-treated bean plants-protective role of exogenous polyamines. *Plant Science*, 151, PP: 59-66.
- 36- Živčák, M., Brestič, M., Olšovská, K., and Slamka, P., 2008. Performance index as a sensitive indicator of water stress in *Triticum aestivum* L., *Plant Soil and Environment*, 54(4), PP: 133-139.
- 37- Živčák, M., Olšovská, K., Slamka, P., Galambošová, J., Rataj, V., Shao, H. B., and Brestič, M., 2015. Application of chlorophyll fluorescence performance indices to assess the wheat photosynthetic functions influenced by nitrogen deficiency. *Plant Soil and Environment*, 60(5), PP: 210-215.
- 38- Zucker, M., 1965. Induction of phenylalanine deaminase by light, its relation to chlorogenic acid synthesis in potato tuber tissue, *Physiologia Plantarum* 40, PP: 779-784.

## Salicylic acid and hydrogen peroxide priming as a means to induce salt stress tolerance of wheat

Habibi G. and Hosseini Nejad O.

Dept. of Biology, Payame Noor University (PNU), Tehran, I.R. of Iran.

### Abstract

In this study, we investigated the role of salicylic acid (SA) and hydrogen peroxide ( $H_2O_2$ ) priming in ameliorating salinity stress on wheat (*Triticum aestivum* L. cv Mihan) grown under hydroponic culture. Seeds of wheat were primed in distilled water (control), as well as different solutions of salicylic acid (0.1, 0.5 and 1 mM) and/or  $H_2O_2$  (1, 20 and 200 mM) for 24 h at 25° C. Seven-day-old seedlings were transferred to Hoagland nutrient solution. Experiments were undertaken in complete randomized block design using 4 independent replications. Salinity stress drastically affected the plants as indicated by decreased biomass of shoots (about 25%). However,  $H_2O_2$  priming at 20 mM raised free radical scavenging activities of wheat leaf, as evaluated by decrease in malondialdehyde (MDA) levels. These results indicated that  $H_2O_2$  priming could prevent negative effects of salinity stress on the biomass and photosystem performance. While SA priming could not ameliorate the negative effect of salt on wheat seedlings, the use of both SA and  $H_2O_2$  as priming agents had the most significant alleviating effect against NaCl stress. This ameliorative effect was achieved through stimulation of catalase activity (about 37%) and non-enzymatic (phenols) antioxidants (about 45%) and lowering tissue MDA contents. These results further confirm that the use of both SA and  $H_2O_2$  as priming agents participated in the protection of membranes against the destabilizing effect of salt stress. Additionally, the use of both SA and  $H_2O_2$  as priming agents mitigated the negative effects of salinity on the photochemical efficiency of PSII.

**Key words:** lipid peroxidation, photochemical efficiency of PSII, priming, salt stress, *Triticum aestivum* L.